

УДК 519.634

НЕЛИНЕЙНАЯ ЗАДАЧА О ПОВЕРХНОСТНЫХ ВОЛНАХ НА ДВУХФАЗНОЙ СМЕСИ

© 2003 г. В. А. Баринов, Н. Н. Бутакова

(625003 Тюмень, ул. Семакова, 10, ТюмГУ)

e-mail: vbarinov@utmn.ru

Поступила в редакцию 16.12.2002 г.

Поставлена пространственная задача о поверхностных волнах на слое двухфазной смеси. Задача решена в нелинейной постановке с точностью до второго приближения по малому амплитудному параметру, решение получено в виде затухающих бегущих волн. Найдены фазовая скорость, частота и декремент затухания волны, определено возмущение концентрации дисперсной фазы. Библ. 8. Фиг. 1.

ВВЕДЕНИЕ

Исследования распространения волн по свободной поверхности многофазных (в частности, двухфазных) сред мало отражены в современной научной литературе, хотя эти исследования представляют как теоретический, так и практический интерес. Они могут быть использованы для изучения влияния примесей на волновые параметры (частоту, фазовую скорость, высоту волны и т.п.). Такое влияние на распространение прибрежных волн описано в [1]. Кроме того, с точки зрения практики интересна и обратная задача – определение зависимостей концентрации примесей по заданным характеристикам волны. Аналитические выражения таких зависимостей могут быть основой волнового метода определения степени загрязнения водного бассейна. В рамках многоскоростной модели линейная задача о распространении плоских поверхностных волн на слое двухфазной (дисперсной) среды решена в [2]. В этой статье найдена зависимость частоты и декремента волны от параметров дисперсной фазы, а также установлено, что волновое возмущение концентрации дисперсной фазы является величиной более высокого порядка малости по сравнению с остальными возмущениями. В [3] эта задача решена в нелинейной постановке с точностью до второго приближения, что позволило определить возмущение концентрации. В указанных выше работах межфазное взаимодействие моделировалось только как межфазное трение. В настоящей работе приводится решение нелинейной задачи о распространении по свободной поверхности слоя двухфазной среды пространственных волн. Используемая здесь модель учитывает не только межфазное трение, но и силу присоединенных масс.

1. МАТЕМАТИЧЕСКАЯ МОДЕЛЬ

Рассмотрим слой двухфазной смеси постоянной глубины, находящийся на твердом горизонтальном основании. Сверху слой граничит со средой пренебрежимо малой плотности, характеризующейся постоянным давлением P_a (в частности, атмосферным). Положим, что несущая фаза – идеальная несжимаемая жидкость, вязкость которой проявляется только на межфазной границе, дисперсная – недеформируемые частицы. Движение такой среды в отсутствие тепло- и массообмена описывается многоскоростными уравнениями сохранения массы и импульса [4]:

$$\partial \rho_i / \partial t^* + \nabla(\rho_i \mathbf{v}_i^*) = 0,$$

$$\rho_i \frac{d\mathbf{v}_i^*}{dt^*} = -\alpha_i \nabla P_i + (-1)^i \alpha_1 \alpha_2 \chi^m \rho_1^0 \left(\frac{d\mathbf{v}_1^*}{dt^*} - \frac{d\mathbf{v}_2^*}{dt^*} \right) + (-1)^i \alpha_1 \alpha_2 R(\mathbf{v}_1^* - \mathbf{v}_2^*) + \rho_i \mathbf{g}, \quad (1.1)$$

$$\rho_i = \rho_i^0 \alpha_i, \quad \alpha_1 + \alpha_2 = 1, \quad \rho_i^0 = \text{const}, \quad i = 1, 2.$$

Здесь индексы $i = 1, 2$ относятся, соответственно, к несущей и дисперсной фазе; звездочкой (где это необходимо) обозначены размерные величины; α_i , \mathbf{v}_i^* , P_i , ρ_i , ρ_i^0 – объемная концентрация, вектор скорости, давление, приведенная и истинная плотность i -й фазы; \mathbf{g} – вектор ускорения си-

лы тяжести. Эмпирический коэффициент R характеризует силу вязкого трения Стокса, вызванную несовпадением скоростей фаз. Например, для сферических частиц радиуса a его значение принимается равным $R = 9\eta/(2a^2)$, где η – коэффициент динамической вязкости жидкости. Второе слагаемое в правой части уравнений движения (1.1) соответствует силе присоединенных масс, возникающей из-за ускоренного движения частиц относительно несущей фазы. Значение коэффициента χ^m определяется экспериментально. В случае идеальной несжимаемой несущей фазы $\chi^m = 1/2$ (см. [4]).

Введем декартову систему координат так, чтобы невозмущенная свободная поверхность совпала с плоскостью $z^* = 0$, а дно – с плоскостью $z^* = -l^*$ (l^* – глубина слоя); ось z^* направлена вертикально вверх. Для того чтобы система (1.1) описывала волновое движение смеси, необходимо ввести волновые возмущения концентрации и давления. Полагая, что в отсутствие волны среда находится в покое, из уравнений движения (1.1) при $v_i^* = 0$ и условия равенства давлений на невозмущенной свободной поверхности $z^* = 0$ находим гидростатические составляющие давлений $P_{i0} = P_a - \rho_i^0 g z^*$. Считая, что возмущения давления, вызванные распространением волны, одинаковы в обеих фазах и равны p' (см. [2]), получаем

$$P_i = P_a - \rho_i^0 g z^* + p', \quad i = 1, 2. \quad (1.2)$$

Предполагая, что в невозмущенном слое смеси дисперсная фаза распределена равномерно, объемные концентрации фаз можно представить в виде

$$\alpha_1 = 1 - \alpha_0 - \alpha', \quad \alpha_2 = \alpha_0 + \alpha', \quad (1.3)$$

где $\alpha_0 = \text{const}$ и $\alpha' = \alpha'(t^*, x^*, y^*, z^*)$ – концентрация дисперсной фазы в покоящемся слое смеси и ее волновое возмущение соответственно. Подставляя (1.2) и (1.3) в уравнения (1.1), получаем систему уравнений для описания волнового движения смеси:

$$-\frac{\partial \alpha'}{\partial t^*} + (1 - \alpha_0 - \alpha') \nabla v_1^* - v_1^* \cdot \nabla \alpha' = 0, \quad \frac{\partial \alpha'}{\partial t^*} + (\alpha_0 + \alpha') \nabla v_2^* + v_2^* \cdot \nabla \alpha' = 0, \quad (1.4a)$$

$$\left[\rho_1^0 + \frac{1}{2} \rho_1^0 (\alpha_0 + \alpha') \right] \frac{dv_1^*}{dt^*} - \frac{1}{2} \rho_1^0 (\alpha_0 + \alpha') \frac{dv_2^*}{dt^*} - R(\alpha_0 + \alpha') (v_2^* - v_1^*) + \nabla p' = 0, \quad (1.4b)$$

$$\left[\rho_2^0 + \frac{1}{2} \rho_2^0 (1 - \alpha_0 - \alpha') \right] \frac{dv_2^*}{dt^*} - \frac{1}{2} \rho_2^0 (1 - \alpha_0 - \alpha') \frac{dv_1^*}{dt^*} + R(1 - \alpha_0 - \alpha') (v_2^* - v_1^*) + \nabla p' = 0. \quad (1.4v)$$

На свободной поверхности среды $z^* = \xi(t^*, x^*, y^*)$ должны выполняться кинематическое и динамическое граничные условия [2], которые представляют собой условия отсутствия потока массы смеси через поверхность и непрерывности потока импульса соответственно:

$$\alpha_1 v_{1n}^* + \alpha_2 v_{2n}^* = V_n, \quad P = \alpha_1 P_1 + \alpha_2 P_2 = P_a,$$

где $\alpha_1 v_{1n}^* + \alpha_2 v_{2n}^*$ и V_n – нормальные проекции объемной скорости смеси и свободной поверхности. С учетом равенств (1.2) и (1.3) кинематическое и динамическое условия принимают вид

$$\begin{aligned} \frac{\partial \xi}{\partial t^*} - (1 - \alpha_0 - \alpha') v_{1z}^* - (\alpha_0 + \alpha') v_{2z}^* + \frac{\partial \xi}{\partial x^*} [(1 - \alpha_0 - \alpha') v_{1x}^* + (\alpha_0 + \alpha') v_{2x}^*] + \\ + \frac{\partial \xi}{\partial y^*} [(1 - \alpha_0 - \alpha') v_{1y}^* + (\alpha_0 + \alpha') v_{2y}^*] = 0, \end{aligned} \quad (1.5)$$

$$p' - [\rho_1^0 (1 - \alpha_0 - \alpha') + \rho_2^0 (\alpha_0 + \alpha')] g \xi = 0, \quad z^* = \xi(t^*, x^*, y^*),$$

где $\rho^0 = (1 - \alpha_0) \rho_1^0 + \alpha_0 \rho_2^0$ – плотность покоящейся смеси. Считая, что поток массы через твердую поверхность горизонтального основания отсутствует, на дне получаем условие непротекания для каждой фазы (см. [4]):

$$v_{in}^* = 0, \quad i = 1, 2, \quad z^* = -l^*. \quad (1.6)$$

Система уравнений (1.4)–(1.6) образует замкнутую математическую модель для определения неизвестных скоростей волнового движения фаз, возмущения давления и концентрации, а также формы свободной поверхности.

2. КРАЕВАЯ ЗАДАЧА О ПРОСТРАНСТВЕННЫХ ВОЛНАХ

Рассмотрим пространственное движение двухфазной среды, вызванное распространением по свободной поверхности слоя прогрессивной волны длиной λ . Фазовая скорость распространения трехмерной волны вдоль оси x^* равна c^* и подлежит определению при решении задачи. В данном случае переменная x^* входит в решение только в комбинации $x^* - c^*t^*$. Полагаем, что длина волны много больше характерного размера дисперсных частиц ($\lambda \gg \alpha$) и высоты волны ($\lambda \gg \xi_{\max}$). Последнее условие позволяет искать решение в виде разложения по малому амплитудному параметру

$$\varepsilon = k\xi_{\max},$$

где $k = 2\pi/\lambda$ – волновое число. Предполагаем, что волна периодическая по x^* , y^* и плоскость $z^* = 0$ проходит вдоль среднего уровня волновой поверхности. Это равносильно выполнению следующих условий (см. [5]):

$$\xi(t^*, x^* + \lambda_1, y^* + \lambda_2) = \xi(t^*, x^*, y^*), \quad \int_0^{\lambda_1} dx^* \int_0^{\lambda_2} \xi(t^*, x^*, y^*) dy^* = 0, \quad (2.1)$$

где λ_1 и λ_2 – длины волны в направлении осей x^* и y^* соответственно.

Обезразмерим переменные и величины, входящие в (1.4)–(1.6), (2.1), считая, что все волновые возмущения одного порядка малости ε :

$$t^* = t/(kc^*), \quad x^* = x/k, \quad y^* = y/k, \quad z^* = z/k, \quad l^* = l/k, \quad \rho_i^0 = \rho^0 \mu_i, \quad (2.2)$$

$$R = \rho^0 kc_0 r, \quad \alpha' = \varepsilon \alpha_0 \gamma, \quad \xi = \varepsilon \zeta/k, \quad v_i^* = \varepsilon c_0 v_i, \quad p' = \varepsilon \rho^0 c_0^2 p, \quad c^* = c_0 c,$$

где c_0 – фазовая скорость, соответствующая линейной задаче. Подставляя (2.2) в (1.4)–(1.6), (2.1), получаем следующую нелинейную краевую задачу.

В области, занятой смесью, выполняются уравнения

$$-\alpha_0 c \frac{\partial \gamma}{\partial t} + (1 - \alpha_0) \left(\frac{\partial v_{1x}}{\partial x} + \frac{\partial v_{1y}}{\partial y} + \frac{\partial v_{1z}}{\partial z} \right) - \varepsilon \alpha_0 \left[v_{1x} \frac{\partial \gamma}{\partial x} + v_{1y} \frac{\partial \gamma}{\partial y} + v_{1z} \frac{\partial \gamma}{\partial z} + \gamma \left(\frac{\partial v_{1x}}{\partial x} + \frac{\partial v_{1y}}{\partial y} + \frac{\partial v_{1z}}{\partial z} \right) \right] = 0, \quad (2.3a)$$

$$c \frac{\partial \gamma}{\partial t} + \frac{\partial v_{2x}}{\partial x} + \frac{\partial v_{2y}}{\partial y} + \frac{\partial v_{2z}}{\partial z} + \varepsilon \left[v_{2x} \frac{\partial \gamma}{\partial x} + v_{2y} \frac{\partial \gamma}{\partial y} + v_{2z} \frac{\partial \gamma}{\partial z} + \gamma \left(\frac{\partial v_{2x}}{\partial x} + \frac{\partial v_{2y}}{\partial y} + \frac{\partial v_{2z}}{\partial z} \right) \right] = 0, \quad (2.3б)$$

$$\left(\mu_1 + \frac{1}{2} \mu_1 \alpha_0 \right) c \frac{\partial v_{1s}}{\partial t} - \frac{1}{2} \mu_1 \alpha_0 c \frac{\partial v_{2s}}{\partial t} - r \alpha_0 (v_{2s} - v_{1s}) + \frac{\partial p}{\partial s} +$$

$$+ \varepsilon \left[\left(\mu_1 + \frac{1}{2} \mu_1 \alpha_0 \right) \left(v_{1x} \frac{\partial v_{1s}}{\partial x} + v_{1y} \frac{\partial v_{1s}}{\partial y} + v_{1z} \frac{\partial v_{1s}}{\partial z} \right) - r \alpha_0 \gamma (v_{2s} - v_{1s}) - \right. \quad (2.3в)$$

$$\left. - \frac{1}{2} \mu_1 \alpha_0 \left(v_{2x} \frac{\partial v_{2s}}{\partial x} + v_{2y} \frac{\partial v_{2s}}{\partial y} + v_{2z} \frac{\partial v_{2s}}{\partial z} \right) - \frac{1}{2} \mu_1 \alpha_0 \gamma c \left(\frac{\partial v_{2s}}{\partial t} - \frac{\partial v_{1s}}{\partial t} \right) \right] +$$

$$+ \varepsilon \frac{1}{2} \mu_1 \alpha_0 \gamma \left(v_{1x} \frac{\partial v_{1s}}{\partial x} + v_{1y} \frac{\partial v_{1s}}{\partial y} + v_{1z} \frac{\partial v_{1s}}{\partial z} - v_{2x} \frac{\partial v_{2s}}{\partial x} - v_{2y} \frac{\partial v_{2s}}{\partial y} - v_{2z} \frac{\partial v_{2s}}{\partial z} \right) = 0,$$

$$\left(\mu_2 + \frac{1}{2} \mu_1 (1 - \alpha_0) \right) c \frac{\partial v_{2s}}{\partial t} - \frac{1}{2} \mu_1 (1 - \alpha_0) c \frac{\partial v_{1s}}{\partial t} + r (1 - \alpha_0) (v_{2s} - v_{1s}) + \frac{\partial p}{\partial s} +$$

$$\begin{aligned}
 & + \varepsilon \left[\left(\mu_2 + \frac{1}{2} \mu_1 (1 - \alpha_0) \right) \left(v_{2x} \frac{\partial v_{2s}}{\partial x} + v_{2y} \frac{\partial v_{2s}}{\partial y} + v_{2z} \frac{\partial v_{2s}}{\partial z} \right) - r \alpha_0 \gamma (v_{2s} - v_{1s}) - \right. \\
 & \left. - \frac{1}{2} \mu_1 (1 - \alpha_0) \left(v_{1x} \frac{\partial v_{1s}}{\partial x} + v_{1y} \frac{\partial v_{1s}}{\partial y} + v_{1z} \frac{\partial v_{1s}}{\partial z} \right) - \frac{1}{2} \mu_1 \alpha_0 \gamma c \left(\frac{\partial v_{2s}}{\partial t} - \frac{\partial v_{1s}}{\partial t} \right) \right] + \\
 & + \varepsilon \frac{1}{2} \mu_1 \alpha_0 \gamma \left(v_{1x} \frac{\partial v_{1s}}{\partial x} + v_{1y} \frac{\partial v_{1s}}{\partial y} + v_{1z} \frac{\partial v_{1s}}{\partial z} - v_{2x} \frac{\partial v_{2s}}{\partial x} - v_{2y} \frac{\partial v_{2s}}{\partial y} - v_{2z} \frac{\partial v_{2s}}{\partial z} \right) = 0, \quad s = x, y, z.
 \end{aligned} \tag{2.3r}$$

На свободной поверхности $z = \varepsilon \zeta(t, x, y)$ заданы граничные условия

$$\begin{aligned}
 & c \frac{\partial \zeta}{\partial t} - (1 - \alpha_0) v_{1z} - \alpha_0 v_{2z} + \\
 & + \varepsilon \left\{ \frac{\partial \zeta}{\partial t} [(1 - \alpha_0) v_{1x} + \alpha_0 v_{2x}] - \alpha_0 \gamma (v_{2z} - v_{1z}) + \frac{\partial \zeta}{\partial y} [(1 - \alpha_0) v_{1y} + \alpha_0 v_{2y}] \right\} + \\
 & + \varepsilon^2 \alpha_0 \gamma \left\{ \frac{\partial \zeta}{\partial x} (v_{2x} - v_{1x}) + \frac{\partial \zeta}{\partial y} (v_{2y} - v_{1y}) \right\} = 0,
 \end{aligned} \tag{2.4}$$

$$p - v_0^2 \zeta + \varepsilon \alpha_0 (\mu_1 - \mu_2) v_0^2 \gamma \zeta = 0, \quad v_0^2 = g/(kc_0^2).$$

На дне $z = -l$ имеем

$$v_{iz} = 0, \quad i = 1, 2. \tag{2.5}$$

Условия (2.1) в безразмерных величинах примут вид

$$\zeta \left(t, x + \frac{2\pi}{\kappa_1}, y + \frac{2\pi}{\kappa_2} \right) = \zeta(t, x, y), \quad \int_0^{2\pi/\kappa_1} dx \int_0^{2\pi/\kappa_2} \zeta(t, x, y) dy = 0, \tag{2.6}$$

где $\kappa_1 = k_1/k = \lambda/\lambda_1$, $\kappa_2 = k_2/k = \lambda/\lambda_2$, а волновые числа k_1 и k_2 связаны с λ_1 и λ_2 соотношениями $k_1 = 2\pi/\lambda_1$, $k_2 = 2\pi/\lambda_2$.

Граничные условия (2.4) заданы на неизвестной поверхности $z = \varepsilon \zeta(t, x, y)$. Разложим неизвестные функции, входящие в (2.4), в ряд Тейлора в окрестности невозмущенной свободной поверхности $z = 0$, например

$$v_{1z} = v_{1z}(t, x, y, 0) + \frac{\partial v_{1z}}{\partial z} \Big|_{z=0} \varepsilon \zeta + \frac{1}{2} \frac{\partial^2 v_{1z}}{\partial z^2} \Big|_{z=0} \varepsilon^2 \zeta^2 + \dots,$$

и подставим эти разложения в (2.4). Выпишем граничные условия при $z = 0$ с точностью до ε^1 :

$$\begin{aligned}
 & c \frac{\partial \zeta}{\partial t} - (1 - \alpha_0) v_{1z} - \alpha_0 v_{2z} + \varepsilon \left\{ \frac{\partial \zeta}{\partial x} [(1 - \alpha_0) v_{1x} + \alpha_0 v_{2x}] - \alpha_0 \gamma (v_{2z} - v_{1z}) + \right. \\
 & \left. + \frac{\partial \zeta}{\partial y} [(1 - \alpha_0) v_{1y} + \alpha_0 v_{2y}] - \zeta \left[(1 - \alpha_0) \frac{\partial v_{1z}}{\partial z} + \alpha_0 \frac{\partial v_{2z}}{\partial z} \right] \right\} = 0,
 \end{aligned} \tag{2.7}$$

$$p - v_0^2 \zeta + \varepsilon \zeta \left[\alpha_0 (\mu_1 - \mu_2) v_0^2 \gamma + \frac{\partial p}{\partial z} \right] = 0.$$

Решение краевой задачи будем искать в виде рядов по степеням малого параметра ε :

$$v_i = \sum_{k=0}^{\infty} \varepsilon^k v_{ik}, \quad p = \sum_{k=0}^{\infty} \varepsilon^k p_k, \quad \gamma = \sum_{k=0}^{\infty} \varepsilon^k \gamma_k, \quad \zeta = \sum_{k=0}^{\infty} \varepsilon^k \zeta_k, \quad c = 1 + \sum_{k=1}^{\infty} \varepsilon^k c_k. \tag{2.8}$$

Подставляя ряды (2.8) в (2.3), (2.5)–(2.7) и выписывая коэффициенты при ε^0 и ε^1 , получаем системы уравнений и граничных условий для определения решения в первом и во втором приближениях соответственно. Для определения первого приближения имеем

$$-\alpha_0 \frac{\partial \gamma_0}{\partial t} + (1 - \alpha_0) \left(\frac{\partial v_{1x0}}{\partial x} + \frac{\partial v_{1y0}}{\partial y} + \frac{\partial v_{1z0}}{\partial z} \right) = 0,$$

$$\frac{\partial \gamma_0}{\partial t} + \frac{\partial v_{2x0}}{\partial x} + \frac{\partial v_{2y0}}{\partial y} + \frac{\partial v_{2z0}}{\partial z} = 0,$$

$$\left(\mu_1 + \frac{1}{2} \mu_1 \alpha_0 \right) \frac{\partial v_{1s0}}{\partial t} - \frac{1}{2} \mu_1 \alpha_0 \frac{\partial v_{2s0}}{\partial t} - r \alpha_0 (v_{2s0} - v_{1s0}) + \frac{\partial p_0}{\partial s} = 0, \quad (2.9)$$

$$\left(\mu_2 + \frac{1}{2} \mu_1 (1 - \alpha_0) \right) \frac{\partial v_{2s0}}{\partial t} - \frac{1}{2} \mu_1 (1 - \alpha_0) \frac{\partial v_{1s0}}{\partial t} + r (1 - \alpha_0) (v_{2s0} - v_{1s0}) + \frac{\partial p_0}{\partial s} = 0, \quad s = x, y, z.$$

$$\frac{\partial \zeta_0}{\partial t} = (1 - \alpha_0) v_{1z0} + \alpha_0 v_{2z0}, \quad p_0 - v_0^2 \zeta_0 = 0, \quad z = 0, \quad (2.10)$$

$$v_{iz0} = 0, \quad i = 1, 2, \quad z = -l, \quad (2.11)$$

$$\zeta_0 \left(t, x + \frac{2\pi}{\kappa_1}, y + \frac{2\pi}{\kappa_2} \right) = \zeta_0(t, x, y), \quad \int_0^{2\pi/\kappa_1} dx \int_0^{2\pi/\kappa_2} \zeta_0(t, x, y) dy = 0. \quad (2.12)$$

Во втором приближении задача имеет вид

$$-\alpha_0 \frac{\partial \gamma_1}{\partial t} + (1 - \alpha_0) \left(\frac{\partial v_{1x1}}{\partial x} + \frac{\partial v_{1y1}}{\partial y} + \frac{\partial v_{1z1}}{\partial z} \right) - \quad (2.13a)$$

$$-\alpha_0 \left[c_1 \frac{\partial \gamma_0}{\partial t} + \gamma_0 \left(\frac{\partial v_{1x1}}{\partial x} + \frac{\partial v_{1y1}}{\partial y} + \frac{\partial v_{1z1}}{\partial z} \right) + v_{1x0} \frac{\partial \gamma_0}{\partial x} + v_{1y0} \frac{\partial \gamma_0}{\partial y} + v_{1z0} \frac{\partial \gamma_0}{\partial z} \right] = 0,$$

$$\frac{\partial \gamma_1}{\partial t} + \frac{\partial v_{2x1}}{\partial x} + \frac{\partial v_{2y1}}{\partial y} + \frac{\partial v_{2z1}}{\partial z} + c_1 \frac{\partial \gamma_0}{\partial t} + \quad (2.13b)$$

$$+ \gamma_0 \left(\frac{\partial v_{2x1}}{\partial x} + \frac{\partial v_{2y1}}{\partial y} + \frac{\partial v_{2z1}}{\partial z} \right) + v_{2x0} \frac{\partial \gamma_0}{\partial x} + v_{2y0} \frac{\partial \gamma_0}{\partial y} + v_{2z0} \frac{\partial \gamma_0}{\partial z} = 0,$$

$$\left(\mu_1 + \frac{1}{2} \mu_1 \alpha_0 \right) \frac{\partial v_{1s1}}{\partial t} - \frac{1}{2} \mu_1 \alpha_0 \frac{\partial v_{2s1}}{\partial t} - r \alpha_0 (v_{2s1} - v_{1s1}) + \frac{\partial p_1}{\partial s} + c_1 \left[\left(\mu_1 + \frac{1}{2} \mu_1 \alpha_0 \right) \frac{\partial v_{1s0}}{\partial t} - \frac{1}{2} \mu_1 \alpha_0 \frac{\partial v_{2s0}}{\partial t} \right] + \quad (2.13b)$$

$$+ \left(\mu_1 + \frac{1}{2} \mu_1 \alpha_0 \right) \left(v_{1x0} \frac{\partial v_{1s0}}{\partial x} + v_{1y0} \frac{\partial v_{1s0}}{\partial y} + v_{1z0} \frac{\partial v_{1s0}}{\partial z} \right) - r \alpha_0 \gamma_0 (v_{2s0} - v_{1s0}) - \quad (2.13b)$$

$$- \frac{1}{2} \mu_1 \alpha_0 \left(v_{2x0} \frac{\partial v_{2s0}}{\partial x} + v_{2y0} \frac{\partial v_{2s0}}{\partial y} + v_{2z0} \frac{\partial v_{2s0}}{\partial z} \right) - \frac{1}{2} \mu_1 \alpha_0 \gamma_0 \left(\frac{\partial v_{2s0}}{\partial t} - \frac{\partial v_{1s0}}{\partial t} \right) = 0,$$

$$\left[\mu_2 + \frac{1}{2} \mu_1 (1 - \alpha_0) \right] \frac{\partial v_{2s1}}{\partial t} - \frac{1}{2} \mu_1 (1 - \alpha_0) \frac{\partial v_{1s1}}{\partial t} + r (1 - \alpha_0) (v_{2s1} - v_{1s1}) + \frac{\partial p_1}{\partial s} +$$

$$+ c_1 \left[\left(\mu_2 + \frac{1}{2} \mu_1 (1 - \alpha_0) \right) \frac{\partial v_{2s0}}{\partial t} - \frac{1}{2} \mu_1 (1 - \alpha_0) \frac{\partial v_{1s0}}{\partial t} \right] + \quad (2.13b)$$

$$+ \left(\mu_2 + \frac{1}{2} \mu_1 (1 - \alpha_0) \right) \left(v_{2x0} \frac{\partial v_{2s0}}{\partial x} + v_{2y0} \frac{\partial v_{2s0}}{\partial y} + v_{2z0} \frac{\partial v_{2s0}}{\partial z} \right) - r \alpha_0 \gamma_0 (v_{2s0} - v_{1s0}) -$$

$$-\frac{1}{2}\mu_1(1-\alpha_0)\left(v_{1x0}\frac{\partial v_{1s0}}{\partial x} + v_{1y0}\frac{\partial v_{1s0}}{\partial y} + v_{1z0}\frac{\partial v_{1s0}}{\partial z}\right) - \frac{1}{2}\mu_1\alpha_0\gamma_0\left(\frac{\partial v_{2s0}}{\partial t} - \frac{\partial v_{1s0}}{\partial t}\right) = 0, \quad s = x, y, z.$$

На свободной поверхности выполняются кинематическое и динамическое граничные условия

$$\begin{aligned} & \frac{\partial \zeta_1}{\partial t} - (1-\alpha_0)v_{1z1} - \alpha_0v_{2z1} + c_1\frac{\partial \zeta_0}{\partial t} - \alpha_0\gamma_0(v_{2z0} - v_{1z0}) + \\ & + \frac{\partial \zeta_0}{\partial x}[(1-\alpha_0)v_{1x0} + \alpha_0v_{2x0}] + \frac{\partial \zeta_0}{\partial y}[(1-\alpha_0)v_{1y0} + \alpha_0v_{2y0}] = 0, \end{aligned} \quad (2.14)$$

$$p_1 - v_0^2\zeta_1 + (\mu_1 - \mu_2)v_0^2\gamma_0\zeta_0 + \frac{\partial p_0}{\partial z}\zeta_0 = 0, \quad z = 0.$$

На дне заданы условия непротекания

$$v_{iz1} = 0, \quad i = 1, 2, \quad z = -l. \quad (2.15)$$

Функция $\zeta_1(t, x, y)$ также должна удовлетворять условиям

$$\zeta_1\left(t, x + \frac{2\pi}{\kappa_1}, y + \frac{2\pi}{\kappa_2}\right) = \zeta_1(t, x, y), \quad \int_0^{2\pi/\kappa_1} dx \int_0^{2\pi/\kappa_2} \zeta_1(t, x, y) dy = 0. \quad (2.16)$$

3. РЕШЕНИЕ ЗАДАЧИ В ПЕРВОМ (ЛИНЕЙНОМ) ПРИБЛИЖЕНИИ

Определим решение линейной задачи (2.9)–(2.12). Исключая компоненты скоростей фаз из системы (2.9), получаем два уравнения для определения возмущений давления p_0 и концентрации γ_0 :

$$\Delta p_0 + \frac{3\alpha_0\mu_1}{2(1-\alpha_0)}\frac{\partial^2 \gamma_0}{\partial t^2} + \frac{\alpha_0 r}{1-\alpha_0}\frac{\partial \gamma_0}{\partial t} = 0, \quad \Delta p_0 - \frac{(\mu_1 + 2\mu_2)}{2}\frac{\partial^2 \gamma_0}{\partial t^2} - r\frac{\partial \gamma_0}{\partial t} = 0. \quad (3.1)$$

Отсюда получаем уравнение для определения возмущения концентрации дисперсной фазы γ_0 :

$$\frac{\partial^2 \gamma_0}{\partial t^2} + \frac{2r}{(\mu_1 + 2\mu)}\frac{\partial \gamma_0}{\partial t} = 0,$$

где $\mu = (1 - \alpha_0)\mu_2 + \alpha_0\mu_1$. Решение этого уравнения в линейном приближении должно описывать возмущение концентрации, вызванное распространением волны установившегося вида. Волновые возмущения для прогрессивных незатухающих и затухающих волн задаются, соответственно, функциями (см. [5, 6]) $\gamma_0 = X(x-t)Y(y)Z(z)$ и $\gamma_0 = e^{-qt}X(x-t)Y(y)Z(z)$, причем $X(x-t)$ периодическая. Нетрудно показать, что решение уравнения для возмущения концентрации в виде последней функции возможно только при $X(x-t) \equiv 0$. Нетривиальное решение этого уравнения имеет вид $\gamma_0 = e^{-qt}X(x)Y(y)Z(z)$ и не носит волнового характера. Поэтому возможно только тривиальное решение, что соответствует работе [2]:

$$\gamma_0 = 0. \quad (3.2)$$

Тогда из (3.1) для возмущения давления следует уравнение Лапласа

$$\Delta p_0 = 0. \quad (3.3)$$

Кроме уравнения (3.3), функция p_0 должна удовлетворять граничным условиям на свободной поверхности и дне. Из условий непротекания (2.11) и уравнений движения (2.9) следует условие на дне

$$\partial p_0 / \partial z = 0, \quad z = -l. \quad (3.4)$$

Из уравнений движения (2.9) и граничных условий на свободной поверхности (2.10) получаем условие для p_0 при $z = 0$:

$$\frac{\partial^3 p_0}{\partial t^3} + \frac{2r}{\mu_1(1+2\mu_2)}\frac{\partial^2 p_0}{\partial t^2} + \frac{(\mu_1 + 2\mu)v_0^2}{\mu_1(1+2\mu_2)}\frac{\partial^2 p_0}{\partial t \partial z} + \frac{2rv_0^2}{\mu_1(1+2\mu_2)}\frac{\partial p_0}{\partial z} = 0. \quad (3.5)$$

Из условий (2.10) и (2.12) следуют условие периодичности и интегральное условие для p_0 :

$$p_0\left(t, x + \frac{2\pi}{\kappa_1}, y + \frac{2\pi}{\kappa_2}, 0\right) = p_0(t, x, y, 0), \quad \int_0^{2\pi/\kappa_1} dx \int_0^{2\pi/\kappa_2} p_0(t, x, y, 0) dy = 0. \quad (3.6)$$

Таким образом, для определения функции p_0 имеем задачу (3.3)–(3.6). Решение уравнения Лапласа (3.3) находим в виде (см. [5], [6]) $p_0 = X(t, x-t)Y(t, y)Z(t, z)$. Функции $X = X(t, x-t)$, $Y = Y(t, y)$, $Z = Z(t, z)$ являются решениями обыкновенных дифференциальных уравнений

$$X_{xx} + m_1^2 X = 0, \quad Y_{yy} + m_2^2 Y = 0, \quad Z_{zz} - m^2 Z = 0,$$

где m_1, m_2, m – постоянные разделения и $m_1^2 + m_2^2 = m^2$. Из условия на дне (3.4) следует, что $Z_z(t, -l) = 0$. Тогда решения дифференциальных уравнений имеют вид

$$X = C_1(t) \sin[m_1(x-t)] + C_2(t) \cos[m_1(x-t)], \\ Y = C_3(t) \sin(m_2 y) + C_4(t) \cos(m_2 y), \quad Z = C_5(t) \operatorname{ch}[m(z+l)].$$

Для выполнения условия периодичности необходимо потребовать, чтобы $m_1 = \kappa_1 n, m_2 = \kappa_2 n, m = n$ ($n = 1, 2, 3, \dots$). Условие $m_1^2 + m_2^2 = m^2$ выполнено в силу того, что λ_1 и λ_2 – длины волны в направлении осей координат, т.е. $\kappa_1^2 + \kappa_2^2 = 1$. Без ограничения общности можно положить $n = 1$ (см. [2]), т.е. $m_1 = \kappa_1, m_2 = \kappa_2, m = 1$.

Расписывая $\sin[\kappa_1(x-t)]$ и $\cos[\kappa_1(x-t)]$ и перегруппировывая сомножители, получаем

$$p_0 = [K_1(t) \sin(\kappa_1 x) + K_2(t) \cos(\kappa_1 x)] \sin(\kappa_2 y) \operatorname{ch}(z+l) + \\ + [K_3(t) \sin(\kappa_1 x) + K_4(t) \cos(\kappa_1 x)] \cos(\kappa_2 y) \operatorname{ch}(z+l), \quad (3.7)$$

где

$$K_1(t) = C_3(t)C_5(t)[C_1(t) \cos(\kappa_1 t) + C_2(t) \sin(\kappa_1 t)], \\ K_2(t) = C_3(t)C_5(t)[C_2(t) \cos(\kappa_1 t) - C_1(t) \sin(\kappa_1 t)], \\ K_3(t) = C_4(t)C_5(t)[C_1(t) \cos(\kappa_1 t) + C_2(t) \sin(\kappa_1 t)], \\ K_4(t) = C_4(t)C_5(t)[C_2(t) \cos(\kappa_1 t) - C_1(t) \sin(\kappa_1 t)].$$

Подставляя (3.7) в (3.5) и приравнявая к нулю коэффициенты при синусах и косинусах, получаем четыре однородных дифференциальных уравнения третьего порядка с постоянными коэффициентами для определения неизвестных коэффициентов $K_i(t)$:

$$K_i'''(t) + \frac{2r}{\mu_1(1+2\mu_2)} K_i''(t) + \frac{(\mu_1+2\mu)v_0^2}{\mu_1(1+2\mu_2)} \operatorname{th} l K_i'(t) + \frac{2rv_0^2}{\mu_1(1+2\mu_2)} \operatorname{th} l K_i(t) = 0, \quad i = \overline{1, 4}.$$

Характеристическое уравнение имеет вид

$$\theta^3 + \frac{2r}{\mu_1(1+2\mu_2)} \theta^2 + \frac{(\mu_1+2\mu)v_0^2}{\mu_1(1+2\mu_2)} \operatorname{th} l \theta + \frac{2rv_0^2}{\mu_1(1+2\mu_2)} \operatorname{th} l = 0. \quad (3.8)$$

Отметим, что коэффициенты данного уравнения удовлетворяют критерию устойчивости Гурвица [7]. Кубическое уравнение (3.8) будем решать по формуле Кардано [8]. Пусть

$$Q = \frac{\chi^2}{4} + \frac{\Psi^3}{27}, \quad \Psi = \frac{3\mu_1(1+2\mu_2)(\mu_1+2\mu)v_1^2 \operatorname{th} l - 4r_1^2}{12\mu_1^2(1+2\mu_2)^2},$$

$$\chi = \frac{r_1}{54\mu_1^3(1+2\mu_2)^3} [4r_1^2 + 9\mu_1(1+2\mu_2)(\mu_1 - \mu + 3\mu_1\mu_2)v_1^2 \operatorname{th} l].$$

Здесь для компактной записи введены новые величины, имеющие размерность скорости:

$$r_1 = c_0 r = R/(\rho^0 k), \quad v_1^2 = c_0^2 v_0^2 = g/k.$$

При $Q > 0$ существует колебательное движение жидкости, так как в этом случае уравнение имеет пару комплексно-сопряженных корней. При $Q \leq 0$ колебательного движения нет. Следовательно, условием существования волнового движения является выполнение условия $Q > 0$ или

$$64r_1^4 + 9\mu_1(1 + 2\mu_2)(\mu_1 + 2\mu)^3 v_1^2 th^2 l + 4r_1^2 v_0^2 th l [27\mu_1^2(1 + 2\mu_2)^2 - 18\mu_1(1 + 2\mu_2)(\mu_1 + 2\mu) - (\mu_1 + 2\mu)^2] > 0.$$

Для справедливости этого условия достаточным является выполнение неравенства $\psi > 0$ или

$$4r_1^2 - 3\mu_1(1 + 2\mu_2)(\mu_1 + 2\mu)v_1^2 th l < 0.$$

Комплексно-сопряженные корни уравнения (3.8) определяются как

$$\theta = -\frac{1}{c_0} \left[\left(-\frac{\chi}{2} + \sqrt{\frac{\chi^2}{4} + \frac{\Psi^3}{27}} \right)^{1/3} - \left(\frac{\chi}{2} + \sqrt{\frac{\chi^2}{4} + \frac{\Psi^3}{27}} \right)^{1/3} + \frac{2r_1}{3\mu_1(1 + 2\mu_2)} \right] \pm \pm i \frac{\sqrt{3}}{c_0} \left[\left(-\frac{\chi}{2} + \sqrt{\frac{\chi^2}{4} + \frac{\Psi^3}{27}} \right)^{1/3} + \left(\frac{\chi}{2} + \sqrt{\frac{\chi^2}{4} + \frac{\Psi^3}{27}} \right)^{1/3} \right].$$

В случае распространения по свободной поверхности слоя прогрессивной волны необходимо выполнение равенства $\text{Im} \theta = \kappa_1$ или

$$\frac{\sqrt{3}}{c_0} \left[\left(-\frac{\chi}{2} + \sqrt{\frac{\chi^2}{4} + \frac{\Psi^3}{27}} \right)^{1/3} + \left(\frac{\chi}{2} + \sqrt{\frac{\chi^2}{4} + \frac{\Psi^3}{27}} \right)^{1/3} \right] = \kappa_1. \quad (3.9)$$

Комплексно-сопряженным корням, для которых это равенство не выполнено, соответствуют стоячие волны с периодом $\tau = 2\pi/\text{Im} \theta$. Уравнение (3.9) – это дисперсионное соотношение, из которого следует найти частоту волны $\omega = kc_0$ (или фазовую скорость c_0). Из (3.9) получаем

$$c_0 = \frac{\sqrt{3}}{\kappa_1} \left[\left(-\frac{\chi}{2} + \sqrt{\frac{\chi^2}{4} + \frac{\Psi^3}{27}} \right)^{1/3} + \left(\frac{\chi}{2} + \sqrt{\frac{\chi^2}{4} + \frac{\Psi^3}{27}} \right)^{1/3} \right].$$

Очевидно, что, вне зависимости от знака χ , $c_0 > 0$. Корни характеристического уравнения (3.8) можно записать в виде $\theta = -b \pm i\kappa_1$, где $b = \beta/(kc_0)$ – безразмерный декремент затухания волны. Размерный декремент β определяется выражением

$$\beta = k \left[\left(-\frac{\chi}{2} + \sqrt{\frac{\chi^2}{4} + \frac{\Psi^3}{27}} \right)^{1/3} - \left(\frac{\chi}{2} + \sqrt{\frac{\chi^2}{4} + \frac{\Psi^3}{27}} \right)^{1/3} + \frac{2r_1}{3\mu_1(1 + 2\mu_2)} \right], \quad (3.10)$$

которое, без учета силы присоединенных масс, полностью совпадает с декрементом затухания плоской волны [2], [3]. Подставляя $\theta = -b \pm i\kappa_1$ в уравнение (3.9), получаем выражение, связывающее квадрат фазовой скорости и декремент затухания волны:

$$c_0^2 = \frac{1}{\kappa_1^2} \left[\frac{\mu_1 + 2\mu}{\mu_1(1 + 2\mu_2)} v_1^2 th l + \frac{\beta}{k} \left(3\frac{\beta}{k} - \frac{4r_1}{\mu_1(1 + 2\mu_2)} \right) \right]. \quad (3.11)$$

Корням характеристического уравнения $\theta = -b \pm i\kappa_1$ соответствуют решения дифференциальных уравнений

$$K_i(t) = e^{-bt} [K_{i1} \sin(\kappa_1 t) + K_{i2} \cos(\kappa_1 t)],$$

где K_{i1}, K_{i2} – произвольные постоянные. Сравнивая эти выражения с (3.7), находим

$$K_1(t) = C_1 e^{-bt} [C_4 \sin(\kappa_1 t) + C_3 \cos(\kappa_1 t)], \quad K_2(t) = C_1 e^{-bt} [-C_3 \sin(\kappa_1 t) + C_4 \cos(\kappa_1 t)],$$

$$K_3(t) = C_2 e^{-bt} [C_4 \sin(\kappa_1 t) + C_3 \cos(\kappa_1 t)], \quad K_4(t) = C_2 e^{-bt} [-C_3 \sin(\kappa_1 t) + C_4 \cos(\kappa_1 t)],$$

где $C_i = \text{const}$. Подставляя эти функции в (3.7) и нормируя произвольные постоянные C_i (см. [5]):

$$\frac{C_2}{\sqrt{C_1^2 + C_2^2}} = \cos \eta_2, \quad \frac{C_1}{\sqrt{C_1^2 + C_2^2}} = -\sin \eta_2, \quad \frac{C_4}{\sqrt{C_3^2 + C_4^2}} = \cos \eta_1,$$

$$\frac{C_3}{\sqrt{C_3^2 + C_4^2}} = -\sin \eta_1, \quad \sqrt{C_1^2 + C_2^2} \sqrt{C_3^2 + C_4^2} = \frac{L}{\text{sh} l},$$

получаем выражение для возмущения давления

$$p_0 = L \frac{e^{-bt}}{\text{sh} l} \cos[\kappa_1(x-t+\eta_1)] \cos[\kappa_2(y+\eta_2)] \text{ch}(z+l). \quad (3.12)$$

Постоянные L , η_1 , η_2 могут быть определены из начальной формы волны [5].

Из пятого и восьмого уравнений системы (2.9) находим уравнения для определения компонент скорости несущей v_{1z0} и дисперсной v_{2z0} фазы:

$$\frac{\partial v_{1z0}}{\partial t} = -\frac{\mu_2 \alpha_0}{\mu_1(1-\alpha_0)} \frac{\partial v_{2z0}}{\partial t} - \frac{1}{\mu_1(1-\alpha_0)} \frac{\partial p_0}{\partial z},$$

$$\mu_1(1+2\mu_2) \frac{\partial^2 v_{2z0}}{\partial t^2} + 2r \frac{\partial v_{2z0}}{\partial t} + 3\mu_1 \frac{\partial^2 p_0}{\partial t \partial z} + 2r \frac{\partial p_0}{\partial z} = 0.$$

Подставляя в эти уравнения p_0 из (3.12), находим

$$v_{iz0} = L \frac{e^{-bt}}{\text{sh} l} \{M_i \sin[\kappa_1(x-t+\eta_1)] - N_i \cos[\kappa_1(x-t+\eta_1)]\} \cos[\kappa_2(y+\eta_2)] \text{sh}(z+l), \quad i = 1, 2,$$

где

$$M_1 = \frac{\kappa_1}{b^2 + \kappa_1^2} [1 + 2(b^2 + \kappa_1^2) \mu_1 \mu_2 (1 - \mu_1) (1 + 2\mu_2) / d],$$

$$M_2 = \frac{\kappa_1}{b^2 + \kappa_1^2} [1 + 2(b^2 + \kappa_1^2) \mu_1^2 (1 - \mu_2) (1 + 2\mu_2) / d],$$

$$N_1 = \frac{1}{b^2 + \kappa_1^2} \{-b + 2(b^2 + \kappa_1^2) \mu_2 (1 - \mu_1) [2r - b\mu_1(1 + 2\mu_2)] / d\},$$

$$N_2 = \frac{1}{b^2 + \kappa_1^2} \{-b + 2(b^2 + \kappa_1^2) \mu_1 (1 - \mu_2) [2r - b\mu_1(1 + 2\mu_2)] / d\},$$

$$d = (2r - b\mu_1(1 + 2\mu_2))^2 + \kappa_1^2 \mu_1^2 (1 + 2\mu_2)^2.$$

Аналогично определяются и функции v_{ix0} и v_{iy0} :

$$v_{ix0} = \kappa_1 L \frac{e^{-bt}}{\text{sh} l} \{N_i \sin[\kappa_1(x-t+\eta_1)] + M_i \cos[\kappa_1(x-t+\eta_1)]\} \cos[\kappa_2(y+\eta_2)] \text{ch}(z+l),$$

$$v_{iy0} = \kappa_2 L \frac{e^{-bt}}{\text{sh} l} \{-M_i \sin[\kappa_1(x-t+\eta_1)] + N_i \cos[\kappa_1(x-t+\eta_1)]\} \sin[\kappa_2(y+\eta_2)] \text{ch}(z+l), \quad i = 1, 2.$$

Из динамического условия (2.10) находим форму свободной поверхности:

$$\zeta_0 = L \frac{\text{cth} l}{V_0^2} e^{-bt} \cos[\kappa_1(x-t+\eta_1)] \cos[\kappa_2(y+\eta_2)].$$

Таким образом, найдено решение линейной задачи в виде затухающих прогрессивных волн. В случае плоских волн и отсутствия силы присоединенных масс все найденные выше выражения совпадают с полученными в работе [2].

4. РЕШЕНИЕ ЗАДАЧИ ВО ВТОРОМ ПРИБЛИЖЕНИИ

Чтобы получить решение во втором приближении, необходимо в (2.13)–(2.16) подставить решение линейной задачи. В результате получается система линейных неоднородных уравнений в частных производных с граничными условиями. Не выписывая систему ввиду ее громоздкости, приводим решение, которое было получено аналогично первому приближению через краевую задачу для функции p_1 :

$$c_1 = 0,$$

$$\begin{aligned} \gamma_1 &= \frac{L^2}{\text{sh}^2 l} e^{-2bt} (\{\kappa_1^4 + \kappa_2^4 \text{ch}[2(z+l)] + \cos[2\kappa_2(y + \eta_2)]\} \{S_4 \sin[2\kappa_1(x - y + \eta_1)] + \\ &+ K_4 \cos[2\kappa_1(x - t + \eta_1)]\} + L_4 \{ \text{ch}[2(z+l)] + (\kappa_1^4 \text{ch}[2(z+l)] + \kappa_2^4) \cos[2\kappa_2(y + \eta_2)] \}), \\ v_{ix1} &= \kappa_1 L^2 \frac{e^{-2bt}}{\text{sh}^2 l} (\{ (q_i U + h_i W) \sin[2\kappa_1(x - t + \eta_1)] + (q_i W - h_i U) \cos[2\kappa_1(x - t + \eta_1)] \} \times \\ &\times \cos[2\kappa_2(y + \eta_2)] \text{ch}[2(z+l)] + \{ K_i \sin[2\kappa_1(x - t + \eta_1)] - S_i \cos[2\kappa_1(x - t + \eta_1)] \} \times \\ &\times \{ \kappa_1^2 - \kappa_2^2 \text{ch}[2(z+l)] + \cos[2\kappa_2(y + \eta_2)] \} + \{ (q_i Q_1 + h_i Q_2) \sin[2\kappa_1(x - t + \eta_1)] + \\ &+ (q_i Q_2 - h_i Q_1) \cos[2\kappa_1(x - t + \eta_1)] \} \text{ch}[2\kappa_1(z+l)]), \\ v_{iy1} &= \kappa_2 L^2 \frac{e^{-2bt}}{\text{sh}^2 l} (\{ (h_i U - q_i W) \sin[2\kappa_1(x - t + \eta_1)] + (q_i U + h_i W) \cos[2\kappa_1(x - t + \eta_1)] \} \text{sh}[2(z+l)] + \\ &+ L_i \{ \kappa_2^2 - \kappa_1^2 \text{ch}[2(z+l)] \} + S_i \sin[2\kappa_1(x - t + \eta_1)] + \\ &+ K_i \cos[2\kappa_1(x - t + \eta_1)] - G_i \text{ch}[2\kappa_2(z+l)] \} \sin[2\kappa_2(y + \eta_2)], \\ v_{iz1} &= L^2 \frac{e^{-2bt}}{\text{sh}^2 l} (\{ (q_i W - h_i U) \sin[2\kappa_1(x - t + \eta_1)] - (q_i U + h_i W) \cos[2\kappa_1(x - t + \eta_1)] \} \times \\ &\times \cos[2\kappa_2(y + \eta_2)] \text{sh}[2(z+l)] + (L_i \{ \kappa_1^2 \cos[2\kappa_2(y + \eta_2)] + 1 \} + \\ &+ \kappa_2^2 \{ S_i \sin[2\kappa_1(x - t + \eta_1)] + K_i \cos[2\kappa_1(x - t + \eta_1)] \} \} \text{sh}[2(z+l)] + \\ &+ \kappa_1 \{ (q_i Q_2 - h_i Q_1) \sin[2\kappa_1(x - t + \eta_1)] - (q_i Q_1 + h_i Q_2) \cos[2\kappa_1(x - t + \eta_1)] \} \text{sh}[2\kappa_1(z+l)] + \\ &+ \kappa_2 G_i \cos[2\kappa_2(y + \eta_2)] \text{sh}[2\kappa_2(z+l)]), \\ p_1 &= L^2 \frac{e^{-2bt}}{\text{sh}^2 l} (\{ U \sin[2\kappa_1(x - t + \eta_1)] + W \cos[2\kappa_1(x - t + \eta_1)] \} \cos[2\kappa_2(y + \eta_2)] \text{ch}[2(z+l)] + \\ &+ \{ S_3 \sin[2\kappa_1(x - t + \eta_1)] + K_3 \cos[2\kappa_1(x - t + \eta_1)] \} \{ \cos[2\kappa_2(y + \eta_2)] + \kappa_1^2 - \kappa_2^2 \text{ch}[2(z+l)] \} + \\ &+ L_3 \{ \text{ch}[2(z+l)] + \{ \kappa_1^2 \text{ch}[2(z+l)] - \kappa_2^2 \} \cos[2\kappa_2(y + \eta_2)] \} + \\ &+ \{ Q_1 \sin[2\kappa_1(x - t + \eta_1)] + Q_2 \cos[2\kappa_1(x - t + \eta_1)] \} \text{ch}[2\kappa_1(z+l)] + \\ &+ Q_3 \cos[2\kappa_2(y + \eta_2)] \text{ch}[2\kappa_2(z+l)] + Q_4), \\ \zeta_1 &= L^2 e^{-2bt} (\{ \Phi_1 + \Phi_2 \cos[2\kappa_2(y + \eta_2)] \} \sin[2\kappa_1(x - t + \eta_1)] + \\ &+ \{ \Psi_1 + \Psi_2 \cos[2\kappa_2(y + \eta_2)] \} \cos[2\kappa_1(x - t + \eta_1)] + F \cos[2\kappa_2(y + \eta_2)]). \end{aligned}$$

Коэффициенты, входящие в решение, определяются следующими выражениями:

$$S_1 = -\frac{\alpha_0}{1-\alpha_0}S_2, \quad K_1 = -\frac{\alpha_0}{1-\alpha_0}K_2, \quad L_1 = -\frac{\alpha_0}{1-\alpha_0}L_2, \quad L_2 = \frac{(1-\alpha_0)H_3}{8[r-b(\mu_1+2\mu)]},$$

$$S_2 = \frac{(1-\alpha_0)}{8d_2}\{-\kappa_1(\mu_1+2\mu)H_1 - [r-b(\mu_1+2\mu)]H_2\},$$

$$K_2 = \frac{(1-\alpha_0)}{8d_2}\{[r-b(\mu_1+2\mu)]H_1 - \kappa_1(\mu_1+2\mu)H_2\},$$

$$L_3 = \frac{-(1-\alpha_0)[\mu_1r-b\mu_1(1+2\mu_2)](M_1^2+N_1^2) - \alpha_0[\mu_2r-b\mu_1(1+2\mu_2)](M_2^2+N_2^2)}{8[r-b(\mu_1+2\mu)]},$$

$$L_4 = \frac{(1-\alpha_0)H_3}{8b[r-b(\mu_1+2\mu)]}, \quad Q_4 = -\frac{\text{sh}2l}{8v_0^2} - L_3 \text{ch}2l,$$

$$S_3 = \frac{1}{8d_2}(\kappa_1\alpha_0(1-\alpha_0)(\mu_2-\mu_1)rH_1 - 2M_1N_1(1-\alpha_0)\{[\mu_1r-b\mu_1(1+2\mu_2)] \times \\ \times [r-b(\mu_1+2\mu)] + \kappa_1^2\mu_1(1+2\mu_2)(\mu_1+2\mu)\} - \\ - 2M_2N_2\alpha_0\{[\mu_2r-b\mu_1(1+2\mu_2)][r-b(\mu_1+2\mu)] + \kappa_1^2\mu_1(1+2\mu_2)(\mu_1+2\mu)\}),$$

$$K_3 = \frac{1}{8d_2}(\kappa_1\alpha_0(1-\alpha_0)(\mu_2-\mu_1)rH_2 + (N_1^2-M_1^2)(1-\alpha_0)\{[\mu_1r-b\mu_1(1+2\mu_2)] \times \\ \times [r-b(\mu_1+2\mu)] + \kappa_1^2\mu_1(1+2\mu_2)(\mu_1+2\mu)\} + \\ + (N_2^2-M_2^2)\alpha_0\{[\mu_2r-b\mu_1(1+2\mu_2)][r-b(\mu_1+2\mu)] + \kappa_1^2\mu_1(1+2\mu_2)(\mu_1+2\mu)\}),$$

$$S_4 = \frac{(1-\alpha_0)\{\kappa_1[r-2b(\mu_1+2\mu)]H_1 - [br+(\kappa_1^2-b^2)(\mu_1+2\mu)]H_2\}}{8(b^2+\kappa_1^2)d_2},$$

$$G_1 = \frac{r-b(\mu_1+2\mu_2)}{b(r-b(\mu_1+2\mu))}Q_3, \quad G_2 = \frac{r-3b\mu_1}{b(r-b(\mu_1+2\mu))}Q_3,$$

$$K_4 = \frac{(1-\alpha_0)\{[br+(\kappa_1^2-b^2)(\mu_1+2\mu)]H_1 + \kappa_1[r-2b(\mu_1+2\mu)]H_2\}}{8(b^2+\kappa_1^2)d_2},$$

$$Q_1 = \frac{(b^2+\kappa_1^2)^2}{2\Delta_1}\{4S_3[\kappa_2^2\text{ch}(2l) - \kappa_1^2][2\text{ch}(2\kappa_1l)(b^2+\kappa_1^2)^2 - \delta_1\kappa_1v_0^2\text{sh}(2\kappa_1l)] + \\ + \delta_2\kappa_1\text{sh}(2\kappa_1l)[4v_0^2(\kappa_2^2\text{ch}(2l) - \kappa_1^2)K_3 - (\kappa_2^2\text{sh}^2l - \kappa_1^2)\text{cth}l]\},$$

$$Q_2 = \frac{(b^2+\kappa_1^2)^2}{2v_0^2\Delta_1}\{-4v_0^4\delta_2\kappa_1\text{sh}(2\kappa_1l)S_3[\kappa_2^2\text{ch}(2l) - \kappa_1^2] + \\ + [2\text{ch}(2\kappa_1l)(b^2+\kappa_1^2)^2 - \delta_1\kappa_1v_0^2\text{sh}(2\kappa_1l)][4v_0^2(\kappa_2^2\text{ch}(2l) - \kappa_1^2)K_3 - (\kappa_2^2\text{sh}^2l - \kappa_1^2)\text{cth}l]\},$$

$$Q_3 = \frac{b^2[r-b\mu_1(1+2\mu_2)]\{4v_0^2[\kappa_2^2 - \kappa_1^2\text{ch}(2l)]L_3 + (\kappa_2^2 - \kappa_1^2\text{sh}^2l)\text{cth}l\}}{2v_0^2\{2b^2[r-b\mu_1(1+2\mu_2)]\text{ch}(2\kappa_2l) + \kappa_2v_0^2[r-b(\mu_1+2\mu)]\text{sh}(2\kappa_2l)\}},$$

$$U = \frac{(b^2+\kappa_1^2)^2}{2\Delta_2}\{\delta_2\text{sh}(2l)(\text{cth}l - 4v_0^2K_3) - 4S_3[2(b^2+\kappa_1^2)^2\text{ch}(2l) - \delta_1v_0^2\text{sh}(2l)]\},$$

$$W = \frac{(b^2 + \kappa_1^2)^2}{2v_0^2 \Delta_2} \{ [2(b^2 + \kappa_1^2)^2 \operatorname{ch}(2l) - \delta_1 v_0^2 \operatorname{sh}(2l)] (\operatorname{cth} l - 4v_0^2 K_3) + 4\delta_2 v_0^4 \operatorname{sh}(2l) S_3 \},$$

$$\Phi_1 = \frac{\kappa_1 \operatorname{sh}(2\kappa_1 l) (\delta_1 Q_1 + \delta_2 Q_2) \operatorname{cth} l}{\operatorname{sh}(2l) (b^2 + \kappa_1^2)^2}, \quad \Phi_2 = \frac{(\delta_1 U + \delta_2 W) \operatorname{cth} l}{(b^2 + \kappa_1^2)^2},$$

$$\Psi_1 = \frac{\kappa_1 \operatorname{sh}(2\kappa_1 l) (\delta_1 Q_2 - \delta_2 Q_1) \operatorname{cth} l}{\operatorname{sh}(2l) (b^2 + \kappa_1^2)^2} + \frac{\kappa_1^2 \operatorname{cth}^3 l}{4v_0^4}, \quad \Psi_2 = \frac{(\delta_1 W - \delta_2 U) \operatorname{cth} l}{(b^2 + \kappa_1^2)^2} + \frac{\operatorname{cth}^3 l}{4v_0^4},$$

$$F = \frac{\kappa_2^2 \operatorname{cth}^3 l}{4v_0^4} - \frac{\kappa_2 \operatorname{sh}(2\kappa_2 l) [r - b(\mu_1 + 2\mu)] \operatorname{cth} l}{\operatorname{sh}(2l) b^2 [r - b\mu_1(1 + 2\mu_2)]} Q_3,$$

$$q_1 = \frac{\kappa_1}{b^2 + \kappa_1^2} [1 + 2(b^2 + \kappa_1^2) \mu_1 \mu_2 (1 - \mu_1) (1 + 2\mu_2) / d_1],$$

$$q_2 = \frac{\kappa_1}{b^2 + \kappa_1^2} [1 + 2(b^2 + \kappa_1^2) \mu_1^2 (1 - \mu_2) (1 + 2\mu_2) / d_1],$$

$$h_1 = \frac{1}{b^2 + \kappa_1^2} \{-b + 2(b^2 + \kappa_1^2) \mu_2 (1 - \mu_1) [r - b\mu_1(1 + 2\mu_2)] / d_1\},$$

$$h_2 = \frac{1}{b^2 + \kappa_1^2} \{-b + 2(b^2 + \kappa_1^2) \mu_1 (1 - \mu_2) [r - b\mu_1(1 + 2\mu_2)] / d_1\},$$

$$d_1 = [r - b\mu_1(1 + 2\mu_2)]^2 + \kappa_1^2 \mu_1^2 (1 + 2\mu_2)^2, \quad d_2 = [r - b(\mu_1 + 2\mu)]^2 + \kappa_1^2 (\mu_1 + 2\mu)^2,$$

$$\Delta_1 = 4(b^2 + \kappa_1^2)^4 \operatorname{ch}^2(2\kappa_1 l) + \kappa_1^2 v_0^4 (\delta_1^2 + \delta_2^2) \operatorname{sh}^2(2\kappa_1 l) - 2\kappa_1 \delta_1 v_0^2 (b^2 + \kappa_1^2)^2 \operatorname{sh}(4\kappa_1 l),$$

$$\Delta_2 = 4(b^2 + \kappa_1^2)^4 \operatorname{ch}^2(2l) + v_0^4 (\delta_1^2 + \delta_2^2) \operatorname{sh}^2(2l) - 2\delta_1 v_0^2 (b^2 + \kappa_1^2)^2 \operatorname{sh}(4l),$$

$$\delta_1 = \kappa_1^2 - b^2 + 2(b^2 + \kappa_1^2) (\mu - \mu_1 \mu_2) [br + (\kappa_1^2 - b^2) \mu_1 (1 + 2\mu_2)] / d_1,$$

$$\delta_2 = -2\kappa_1 b + 2\kappa_1 (b^2 + \kappa_1^2) (\mu - \mu_1 \mu_2) [r - 2b\mu_1(1 + 2\mu_2)] / d_1.$$

Таким образом, получено решение задачи во втором приближении. Все коэффициенты этих функций определены через постоянные L , η_1 , η_2 , которые могут быть найдены из дополнительных начальных данных. Поправка к фазовой скорости во втором приближении равна нулю, что соответствует классическим решениям [5].

ЗАКЛЮЧЕНИЕ

Из найденного решения нетрудно получить выражения для волновых возмущений и формы свободной поверхности в случае плоских волн, распространяющихся в направлении оси x^* . Для этого в найденных выше формулах необходимо положить $\kappa_1 = 1$, $\kappa_2 = 0$ или $\kappa_1 = k$, $\kappa_2 = 0$. При этом выражения для декремента затухания и фазовой скорости волны в отсутствие силы присоединенных масс полностью совпадают с полученными в работе [2].

Проанализируем, как и в [2], влияние наличия примесей на фазовую скорость пространственной волны. Для этого формулу (3.11) запишем в виде

$$c_0^2 = c_g^2 + c_d^2 + c_r^2,$$

где

$$c_g^2 = v_1^2 \frac{\operatorname{th} l}{\kappa_1^2} = \frac{gk \operatorname{th}(kl^*)}{k_1^2},$$

$$c_d^2 = v_1^2 \frac{\text{th} l 2(\mu - \mu_1 \mu_2)}{\kappa_1^2 \mu_1 (1 + 2\mu_2)} = \frac{2\alpha_0(1 - \alpha_0)(\rho_1^0 - \rho_2^0)^2 g k \text{th}(kl^*)}{\rho_1^0(\rho_1^0 + 2\rho_2^0) k_1^2},$$

$$c_r^2 = \frac{1}{\kappa_1^2 k} \left(3\frac{\beta}{k} - \frac{4r_1}{\mu_1(1 + 2\mu_2)} \right) = \frac{\beta}{k_1^2} \left(3\beta - \frac{4R\rho^0}{\rho_1^0(\rho_1^0 + 2\rho_2^0)} \right).$$

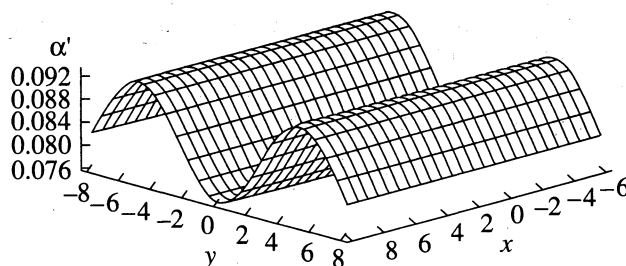
Здесь c_g^2 – квадрат фазовой скорости пространственной гравитационной волны (см. [5]); $c_d^2 \geq 0$ – добавка к фазовой скорости за счет наличия дисперсной фазы; c_r^2 – добавка, обусловленная силами межфазного взаимодействия. Добавка c_d^2 увеличивает значение фазовой скорости по сравнению с c_g^2 , она зависит от разности плотностей фаз и концентрации примеси. Наибольшее значение c_d^2 достигает при $\alpha_0 = 1/2$, наименьшее – при $\alpha_0 = 0$ или $\alpha_0 = 1$ (моносреда). Если рассматривать c_d^2 как функцию от ρ_2^0/ρ_1^0 , то наименьшее значение $c_d^2(\rho_2^0/\rho_1^0)$ достигает при $\rho_2^0 = \rho_1^0$. С увеличением разницы между истинными плотностями фаз c_d^2 возрастает. Функция $c_r^2(\beta)$ отрицательна при $0 < \beta < 4R/[3\rho_1^0(\rho_1^0 + 2\rho_2^0)]$. Так как в рассматриваемой модели β не может превысить этого значения (плотности фаз сильно не различаются), то $c_r^2 \leq 0$ и, следовательно, силы межфазного трения уменьшают значение фазовой скорости пространственной волны.

Возмущение концентрации $\alpha' = \alpha_0 \varepsilon^2 \gamma_1$ имеет порядок малости ε^2 , т.е. является величиной более низкого порядка по сравнению с остальными волновыми возмущениями. Если отбросить малые слагаемые, то α' можно записать в виде

$$\alpha' = \varepsilon^2 \alpha_0 \frac{L^2}{\text{sh}^2(kl^*)} \exp(-2\beta t^*) \left(L_4 \left\{ \frac{k_1^4}{k^4} \cos[2k_2(y^* + \eta_2^*)] + 1 \right\} + \frac{k_2^4}{k^4} \{ S_4 \sin[2k_1(x^* - c_0 t^* + \eta_1^*)] + K_4 \cos[2k_1(x^* - c_0 t^* + \eta_1^*)] \} \right) \text{ch}[2k(z^* + l^*)],$$

где $\eta_i^* = \eta_i/k$. Наибольшего абсолютного значения α' достигает вблизи свободной поверхности, возмущение концентрации уменьшается с глубиной и принимает наименьшее значение на горизонтальной поверхности основания. На фигуре представлен график, иллюстрирующий изменение концентрации $\alpha_2 = \alpha_0 + \alpha_0 \varepsilon^2 \gamma_1$ вблизи свободной поверхности. На заглубленном слое график имеет аналогичный вид, только амплитуда колебаний концентрации становится меньше. Расчеты выполнены для среды с параметрами $\rho_1^0 = 1000 \text{ кг/м}^3$, $\rho_2^0 = 500 \text{ кг/м}^3$, $\eta = 1.004 \times 10^{-3} \text{ кг/(м·с)}$, $a = 0.25 \times 10^{-2} \text{ м}$, $\alpha_0 = 0.1$, $l^* = 100 \text{ м}$, $\lambda = 10 \text{ м}$, $\lambda_1 = 11.54 \text{ м}$, $\lambda_2 = 20 \text{ м}$.

Полученные результаты позволяют оценить влияние примесей на распространение волны, формулы (3.10), (3.11) задают зависимости основных параметров волны от концентрации дисперсной фазы. С другой стороны, из найденных выражений можно определить объемное содер-



Фигура.

жание примесей по параметрам волны. Формулу для приближенного расчета концентрации примесей можно получить из (3.11):

$$\alpha_0 = \frac{\rho_1^0(\rho^0 + 2\rho_2^0)[\kappa_1^2\omega^2 - 3\beta^2 - gk \operatorname{th}(kl)] + 4R\beta}{2gk \operatorname{th}(kl)(\rho_1^0 - \rho_2^0)}$$

Здесь декремент затухания волны можно взять максимально возможным, т.е. $\beta = 4R/[3\rho_1^0(\rho^0 + 2\rho_2^0)]$. Это выражение задает зависимость α_0 от частоты и декремента затухания волны, поэтому может служить основой для волнового метода оценки степени загрязнения водных бассейнов однородными примесями.

СПИСОК ЛИТЕРАТУРЫ

1. Louared M., Saidi A. Pointwise control a particle analysis for parabolic equation// Proc. 7-th Int. Symp. Fluid Dyn., Beijing, Sept. 15–19, 1997. P. 228–234.
2. Баринов В.А., Бутакова Н.Н. Волны на свободной поверхности двухфазной среды // Прикл. механ. и техн. физика. 2002. Т. 43. № 4. С. 27–35.
3. Баринов В.А., Бутакова Н.Н. Нелинейные волны на свободной поверхности дисперсной смеси // Тр. Средневолжского матем. об-ва. 2002. Т. 3–4. № 1. С. 47–53.
4. Нигматулин Р.И. Динамика многофазных сред. Ч. 1. М.: Наука, 1987.
5. Сретенский Л.Н. Теория волновых движений жидкости. М.: Наука, 1977.
6. Баринов В.А. Решение уравнений плоского установившегося движения жидкости// Ж. вычисл. матем. и матем. физ. 2001. Т. 41. № 1. С. 130–134.
7. Лаврентьев М.А., Шабат Б.В. Методы теорий функций комплексного переменного. М.: Наука, 1987.
8. Курош А.Г. Курс высшей алгебры. М.: Наука, 1971.